

(68) 溶銑・溶融スラグの酸素ポテンシャル

日本钢管(株) 福山製鉄所 山本亮二 中島龍一 炭竈隆志
牧 章 脇元一政 桜井雅昭

1. 緒 言

近年、高炉内の反応解析を目的に、炉内各部の酸素ポテンシャル(P_{O_2})の測定が試みられている¹⁾。当所においても、炉床スラグ・メタル反応を検討するために、酸素プローブにより溶銑および溶融スラグの酸素ポテンシャルを測定した。その結果、若干の知見が得られたので以下に報告する。

2. 測定方法

溶銑および溶滓の P_{O_2} および温度は、それぞれメタル用およびスラグ用酸素プローブにより測定した。測定場所は大樋前後にて行ない、測酸と同時にスラグ・メタルを採取し分析を行った。

3. 測定結果と考察

1) 出銑中の P_{O_2} の推移

Fig. 1 に出銑中の溶銑滓成分、 P_{O_2} および温度の推移の一例を示す。溶銑の酸素ポテンシャル($P_{O_2}^M$)は、初期は低く温度の上昇とともに高くなる。一方、スラグの酸素ポテンシャル($P_{O_2}^S$)は初期において高く、その後徐々に低下している。なお、この間C、Siはほぼ一定に推移している。

2) 溶銑酸素ポテンシャルの温度、圧力依存性

Fig. 2 に $P_{O_2}^M$ と温度の関係を P_{CO} で層別して示す。図中の実線は次式により求めた平衡酸素ポテンシャルを示す。



$$P_{O_2}^{1/2} = P_{CO} \cdot \exp(-14192/T - 10.15) \quad \dots \dots \dots (2)$$

$$P_{CO} = 1 + 0.842 Pb \quad \dots \dots \dots (3)$$

ここで P_{CO} は羽口前炉内圧力(P_{rw})に等しいとし、 P_{rw} は、送風圧力(P_b)から環状管～レースウェイ間圧損を考慮して求めた。図から明らかな様に、計算値と実測値は比較的良く一致しており、溶銑中 P_{O_2} は $C-CO(g)$ 平衡により支配されていると推察される。

3) 溶融スラグの酸素ポテンシャルと FeO 濃度の関係

Fig. 3 は $P_{O_2}^S$ とスラグ中 FeO 濃度の関係を示す。なお、図中実線は、 $Fe-(FeO)$ 平衡に基づく計算値を示した。実測された $P_{O_2}^S$ の (FeO) 依存性は計算値とかなり良く一致していることがわかる。

4. 結 言

メタル・スラグ用酸素プローブを用い、溶銑、スラグの酸素ポテンシャルを測定した結果、 $P_{O_2}^M$ は $C-CO(g)$ 平衡で、 $P_{O_2}^S$ は $Fe-(FeO)$ 平衡で支配されていることが推察された。

文 献 1) 例えば 永田ら: 鉄と鋼, 68(1982), P 2271

2) 田村ら: 鉄と鋼, 67(1981), P 2635

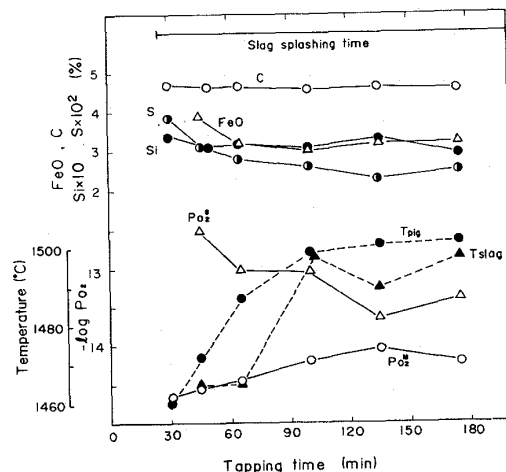


Fig.1 Trend of P_{O_2} , temperature and chemical composition in pig iron and slag during tapping.

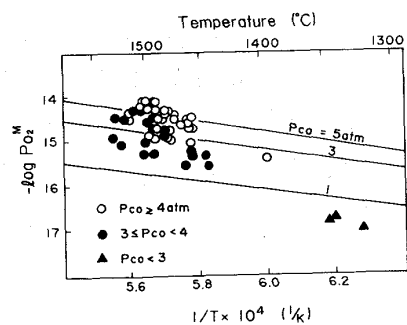


Fig.2 Relation between $P_{O_2}^M$ and temperature in pig iron (Fukuyama 2.3.4.BF)

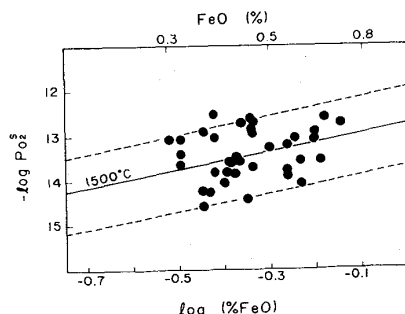


Fig.3 Relation between $P_{O_2}^S$ and $[FeO]$ in slag (Fukuyama 2.3.4.BF)